

УДК 537.334.8

ФИЗИКА

Е. С. МАШКОВА, В. А. МОЛЧАНОВ, Ю. Г. СКРИПКА

## О МЕХАНИЗМЕ РАССЕЯНИЯ ИОНОВ КРИСТАЛЛАМИ

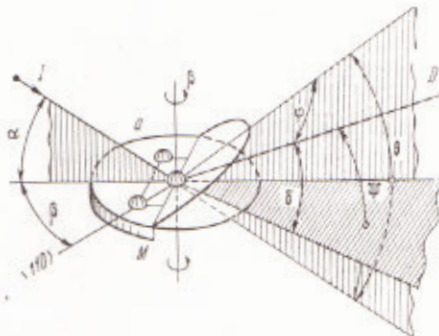
(Представлено академиком Л. А. Арцимовичем 14 I 1971)

1. Недавно было обнаружено (<sup>1</sup>, <sup>2</sup>), что плоскости рассеяния, параллельные некоторым плотноупакованным атомным рядам кристаллической мишени, в отношении закономерностей рассеяния ионов являются физически выделенными, т. е. обладают особыми свойствами. Кроме того, при определенных условиях наблюдается резкая анизотропия пространственного распределения рассеянных ионов — кристалл как бы фокусирует рассеянные ионы вблизи определенных кристаллографических направлений мишени.

Оба эти эффекта не были предсказаны теоретически и потребовали для своего объяснения привлечения новых представлений о механизме рассеяния ионов кристаллами. Экспериментальные данные и результаты, приываемые в этой работе, позволяют, по нашему мнению, дать качественное объяснение некоторым важным закономерностям рассеяния ионов кристаллами.

2. Наша аппаратура и методика измерений были теми же, что и в (<sup>3</sup>). В качестве мишней использовались грани (100) и (110) кристалла меди, облучение мишней производилось ионами аргона энергии 30 кэв. Обозначения упоминаемых далее углов приведены на рис. 1.

Рис. 1. Схема обозначения углов.  $\alpha$  — угол скольжения,  $\beta$  — угол азимутального поворота мишени,  $\theta$  — полярный угол рассеяния,  $\varphi$  — азимутальный угол рассеяния,  $\Psi$  — полный угол рассеяния,  $\delta$  — угол вылета рассеянных ионов.  $M$  — мишень,  $I^+$  — первичные ионы,  $D$  — входная диафрагма анализатора рассеянных ионов;  $a$  — атомы решетки меди



Прежде всего была изучена зависимость интенсивности рассеянных ионов от азимутального угла  $\beta$  поворота мишени. В этих экспериментах анализатор рассеянных ионов был помещен в плоскости падения пучка первичных ионов, в этой же плоскости находилась нормаль к поверхности мишени, вокруг которой производился азимутальный поворот мишени.

Было установлено, что характер зависимости интенсивности рассеянных ионов от угла  $\beta$  обусловлен многими факторами. Так, в случае грани (100), небольших углов  $\alpha$  ( $\alpha = 10^\circ$ ) и не слишком больших углов рассеяния  $20-30^\circ$  (рис. 2A) наблюдается резкий максимум интенсивности попадающих в анализатор ионов, когда плоскость рассеяния становится параллельной наиболее плотноупакованному атомному ряду  $\langle 110 \rangle$ .

$(\beta = 0^\circ)$ . Когда плоскость рассеяния становится параллельной плотноупакованному атомному ряду  $\langle 100 \rangle$  ( $\beta = \pm 45^\circ$ ), наблюдается минимум, форма которого характерна и для многих других ориентационных эффектов (см., например, <sup>(3)</sup>). Уменьшение угла рассеяния в этом случае приводит к изменению формы зависимости интенсивности рассеянных ионов от угла  $\beta$  ( $\theta = 20^\circ$ ): минимум оказывается как бы наложенным на максимум, так что результирующая форма зависимости — пик, расщепленный на две компоненты.

В случае грани  $\langle 110 \rangle$  (рис. 2Б) характер зависимости интенсивности попадающих в анализатор ионов от азимутального угла поворота мишени является иным.

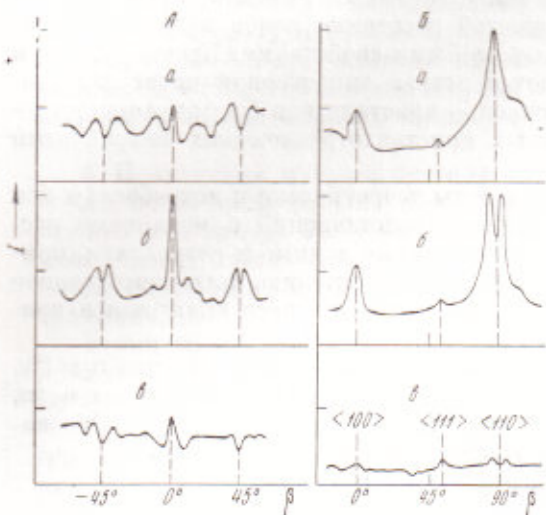


Рис. 2

Рис. 2. Зависимость интенсивности  $I$  рассеянных ионов от азимутального угла  $\beta$  поворота мишени при углах  $\theta = 15^\circ$  (а),  $20^\circ$  (б),  $30^\circ$  (в). А — грань  $\langle 100 \rangle$ , Б — грань  $\langle 110 \rangle$ ;  $\text{Ar}^+$ , 30 кэв,  $\text{Cu}$   $\langle 110 \rangle$ ,  $a = 10^\circ$

Рис. 3. а — схема расположения атомных рядов мишени; б — зависимость от угла  $\beta$  интенсивности  $I$  регистрируемых анализатором рассеянных ионов (1) и нейтрализовавшейся при рассеянии компоненты рассеянного пучка (2); в — зависимость от угла  $\varphi$  интенсивности рассеянных ионов (1) и нейтралей (2) (ср. <sup>(3)</sup>). Кривые 3 соответствуют случаю «произвольной» ориентации мишени относительно пучка первичных ионов ( $\beta = \pm 22^\circ$ )

Когда плоскость рассеяния становится параллельной плотноупакованному атомному ряду  $\langle 100 \rangle$  ( $\beta = 0^\circ$ ), имеет место не минимум, а максимум интенсивности. Когда же плоскость рассеяния становится параллельной атомному ряду  $\langle 110 \rangle$  ( $\beta = 90^\circ$ ), наблюдается либо небольшой минимум ( $\theta = 30^\circ$ ), либо расщепленный максимум ( $\theta = 20^\circ$ ), либо максимум ( $\theta = 15^\circ$ ) интенсивности.

Различие в характеристиках зависимости интенсивности рассеянных ионов от азимутального угла поворота мишени для разных граней кристалла свидетельствует еще и о том, что наблюдаемые зависимости обусловлены не плотноупакованными атомными рядами как таковыми, а их взаимным расположением, различным для разных граней.

Необходимо также отметить, что наличие минимума у зависимости интенсивности попавших в анализатор ионов от азимутального угла пово-

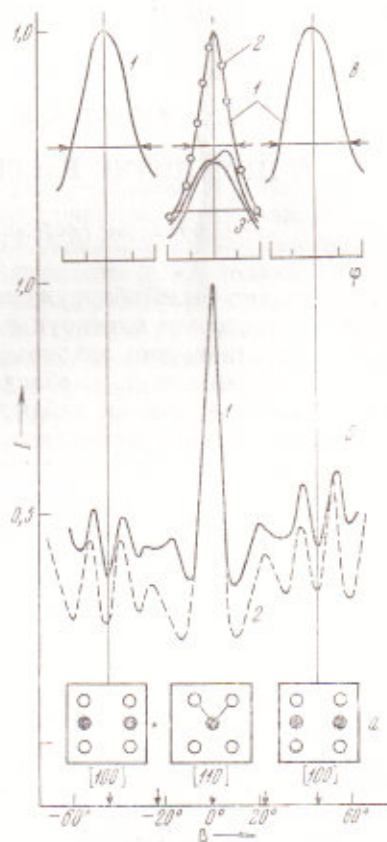


Рис. 3

рота мишени  $\beta$  хорошо коррелирует с соответствующей зависимостью интегрального коэффициента отражения ионов от кристалла (\*).

С другой стороны, наличие максимума в случае, когда плоскость рассеяния параллельна плотноупакованным атомным рядам кристалла, является, на первый взгляд, неожиданным \*. Обнаружение анизотропии пространственного распределения рассеянных ионов позволяет понять причину различия зависимостей от азимутального угла поворота мишени интегрального коэффициента отражения ионов и интенсивности рассеянных ионов, попадающих в анализатор, расположенный в плоскости падения первичных ионов. Рассмотрим этот вопрос более подробно.

На рис. 3б приведена зависимость интенсивности  $I$  ионов, попавших в анализатор, расположенный в плоскости падения первичных ионов, от угла  $\beta$ . На рис. 3в представлены зависимости интенсивности рассеянных ионов от азимутального угла рассеяния  $\varphi$  (распределения рассеянных ионов по азимутальному углу рассеяния) для случаев  $\beta = 0^\circ$  (плоскость падения первичных ионов параллельна рядам  $\langle 110 \rangle$ )  $\beta = \pm 45^\circ$  (плоскость падения параллельна рядам  $\langle 100 \rangle$ ) и  $\beta = \pm 22^\circ$  (плоскость падения не параллельна никаким плотноупакованным атомным рядам мишени). Сопоставляя распределения, можно заметить, что в случае  $\beta = 0^\circ$ , когда плоскость падения первичных ионов параллельна атомным рядам  $\langle 110 \rangle$ , распределение рассеянных ионов по азимутальному углу рассеяния является значительно более узким, чем в случае, когда плоскость падения первичных ионов не параллельна никаким плотноупакованным атомным рядам мишени ( $\beta = \pm 22^\circ$ ). С другой стороны, полуширины распределений для случаев  $\beta = \pm 45^\circ$  и  $\beta = \pm 22^\circ$  практически одинаковые. Таким образом, характерный максимум попадающих в анализатор рассеянных ионов в случае, когда плоскость падения первичных ионов параллельна плотноупакованным атомным рядам  $\langle 110 \rangle$  связан с тем обстоятельством, что в этом случае поток рассеянных ионов сконцентрирован вблизи плоскости, параллельной этим рядам, и эффект фокусировки преобладает над эффектом уменьшения интегрального коэффициента отражения ионов от кристалла.

Чтобы выяснить, посредством какого механизма осуществляется сжатие потока ионов, рассеянных кристаллом, обратимся к схеме расположения плотноупакованных атомных рядов кристалла в наиболее характерных случаях (см. рис. 3а). Когда плоскость падения первичных ионов параллельна  $\langle 100 \rangle$ -рядам атомов мишени ( $\beta = \pm 45^\circ$ ), атомные ряды нижних атомных слоев лежат под атомными рядами первого слоя. Когда плоскость падения параллельна рядам  $\langle 110 \rangle$  ( $\beta = 0$ ), поверхность мишени представляет собой как бы совокупность полуканалов (борозд), образованных атомными рядами первого и второго атомных слоев. Видно (рис. 3), что наличие как резкой анизотропии пространственного распределения рассеянных ионов, так и максимумов на кривых зависимости интенсивности попавших в анализатор ионов от азимутального угла поворота мишени связано со специфической структурой поверхности мишени.

Легко видеть, что чем уже и чем глубже поверхностные полуканалы, тем уже индикаторы рассеяния ионов атомными рядами, образующими дно полуканалов. Действительно, даже только из-за геометрии рассеяния эти атомные ряды рассеивают ионы главным образом в направлениях, близких к плоскостям, параллельным этим рядам. Кроме того, на ионы, рассеянные атомными рядами, образующими дно полуканалов, действуют добавочные фокусирующие силы; когда рассеянные ионы проходят между атомными

\* В работах (4, 5) сообщалось о том, что интенсивность пика «двукратного» рассеяния максимальна, когда плоскость рассеяния параллельна плотноупакованным атомным рядам мишени. Этот результат, в отличие от описанного выше, естественно вытекает из модели, предложенной в (6) для объяснения закономерностей кратного рассеяния ионов кристаллами.

\*\* Специальные эксперименты показали, что сжатие потока рассеянных ионов происходит не только по азимутальному, но и по полярному углу рассеяния  $\theta$ .

рядами поверхностного слоя мишени, они испытывают дополнительное отклонение по направлению к плоскостям, параллельным плотноупакованным атомным рядам. Необходимо также отметить, что наблюдаемые закономерности не могут быть объяснены анизотропией, нейтрализации рассеянных ионов вблизи поверхности мишени<sup>(7)</sup>: качественно те же закономерности справедливы и для нейтрализованной при рассеянии компоненты рассеянного пучка (рис. 3). Ситуация, которая имеет место, аналогична хорошо исследованной проблеме электронной оптики: при некоторых условиях поверхностные ряды атомов могут действовать как на рассеянные, так и на первичные ионы подобно цилиндрической электростатической линзе<sup>(8)</sup>.

Таким образом, формирование потока ионов рассеянных кристаллов определяется в основном тремя процессами: канализированием первичных ионов в кристаллической мишени, фокусировкой ионов поверхностными полуканалами и экранировкой малых параметров столкновений (эффектами блокировки).

Авторы глубоко признательны академику Л. А. Арцимовичу за обсуждение программы исследований, постоянную помощь в ее реализации и обсуждение полученных результатов.

Научно-исследовательский институт ядерной физики  
Московского государственного университета  
им. М. В. Ломоносова

Поступило  
9 XII 1970

#### ЦИТИРОВАННАЯ ЛИТЕРАТУРА

- <sup>1</sup> E. S. Mashkova, V. A. Molchanov, Yu G. Skripka, Phys. Letters, 29A, 645 (1969). <sup>2</sup> E. S. Mashkova, V. A. Molchanov, Yu. G. Skripka, DAN, 190, 73 (1970). <sup>3</sup> M. W. Thompson, Contemporaray Phys., 9, 375 (1968). <sup>4</sup> V. A. Arifov, A. A. Aliev, DAN, 189, 765 (1969). <sup>5</sup> B. A. Snisar', B. M. Chicherov, Izv. AN СССР, сер. физ., 33, 777 (1969). <sup>6</sup> E. S. Mashkova, V. A. Molchanov, FTT, 8, 1517 (1966). <sup>7</sup> W. F. Van der Weg, D. J. Bergmann, Physica, 44, 177 (1969). <sup>8</sup> O. Klemregge, Electron Optics, Cambridge, 1953. <sup>9</sup> E. S. Mashkova, V. A. Molchanov, DAN, 146, 558 (1962).